

## Cap 2. Projetos e partículas carregadas

Discutirei aqui o movimento de projéteis sujeitos à atração gravitacional e à resistência do ar, e o movimento de partículas carregadas em campos magnéticos uniformes. Os 2 problemas se prestam a soluções com o uso da eq. de movimento em coordenadas cartesianas e permitem a introdução e o uso de técnicas matemáticas importantes, além de terem interesse prático.

### 2.1 Resistência do ar: forças de arrasto

Na física básica ignora-se, em geral, a presença destas forças, às vezes justificadamente. Precisamos saber quando e como levá-las em conta.

Propriedades básicas da força de arrasto, ou força que um fluido faz sobre objeto que se move em seu interior:

- depende da velocidade do objeto
- para muitos objetos, é oposta a  $\vec{v}$  (por exemplo, para esfera em translação pura; para outros, é uma boa aproximação)
- há casos importantes em que isto não é verdade (ex: p. força sobre asa de avião)

Considerarei aqui apenas casos em que  $\vec{f} \propto -\vec{v}^2$ :

$$\vec{v} \quad \vec{f} = -f(v) \hat{v}$$

$$\vec{f} = -f(v) \hat{v} \quad (\text{uso da notação } \hat{v} = \frac{\vec{v}}{|\vec{v}|})$$

A função  $f(v)$  (módulo da força de arrasto) é complicada, especialmente quando  $v \rightarrow$  velocidade do som.

No entanto, para velocidades menores é uma boa aproximação escrever

$$f(v) = bv + cv^2 = f_{\text{lin}} + f_{\text{quad.}}$$

com

$$f_{\text{lin}} = bv \quad \text{e} \quad f_{\text{quad.}} = cv^2 \quad (\text{isto é surpresa?})$$

A origem física destes termos é bem diferente (ver problema 3 da lista 2):  $f_{\text{lin}}$  está relacionada com o arrasto viscoso do fluido e é, em geral, proporcional à sua viscosidade e ao tamanho (dimensão linear) do projétil.

$f_{\text{quad.}}$  aparece porque o projétil tem que acelerar (empurrar) uma massa do fluido com a qual ele está colidindo continuamente, e é proporcional à densidade do fluido e à área da seção reta (ortogonal a  $\vec{v}$ ) do projétil.

Para um projétil esférico (bala de cañão antigo, bola de baseball, gota de chuva) os coeficientes  $b$  e  $c$  têm a forma

$$b = \beta D \quad e \quad c = \gamma D^2$$

$D$ : diâmetro da esfera,  $\beta$  e  $\gamma$  dependentes da natureza do meio. Para o ar nas CNTP, seus valores aproximados são

$$\beta = 1,6 \times 10^{-4} \text{ N.s/m}^2 \quad e \quad \gamma = 0,25 \text{ N.s}^2/\text{m}^4,$$

valores que podem dar uma ideia grata sobre a importância relativa dos 2 termos mesmos para projetos nas esféricas.

Frequentemente podemos desprezar 1 dos 2 termos, simplificando assim o problema. Para esta análise, devemos considerar a razão  $\frac{f_q}{f_e} = \frac{c v^2}{b \beta v}$ .  
Para esferas:

$$\frac{f_q}{f_e} = \frac{\gamma D^2 v^2}{\beta D v} = \frac{\gamma D}{\beta} v = (1,6 \times 10^3) D v \quad (\text{em SI})$$

Exemplo: importância relativa dos termos para bola de baseball ( $D = 7 \text{ cm}$ ) com  $v = 5 \text{ m/s}$  (modesta) e, gota de chuva ( $D = 1 \text{ mm}$  e  $v = 0,6 \text{ m/s}$ ) e gota de óleo na experiência de Millikan ( $D = 1,5 \mu\text{m}$  e  $v = 5 \times 10^{-5} \text{ m/s}$ )

- bola de baseball:  $\frac{f_q}{f_e} \approx 600$   
 $\Rightarrow f_e$  desprezível

- gota de chuva  $\frac{f_q}{f_e} \approx 1$

- gotícula de óleo:  $\frac{f_q}{f_e} \approx 10^7$

Moral do exemplo:

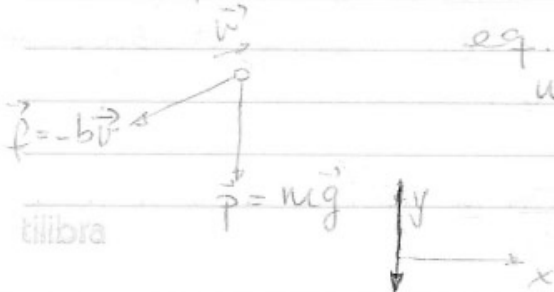
- há objetos para os quais a força de arrasto é predominantemente linear, e o termo quadrático pode ser desprezado (minúsculas gotas de líquido no ar, mas também objetos um pouco maiores em fluidos muito viscosos como rolamientos de esfera em manteiga, óleo)
- para a maioria dos outros (bolas de golfe, futebol, humanos em queda "livre") a força de arrasto dominante é a quadrática e podemos desprezar o termo linear. o que é uma falta de sorte, porque é o problema + difícil

Esta razão pode ser escrita em termos de um importante parâmetro, o número de Reynolds, elemento essencial de um estudo + profundo de movimento em fluidos:  $f_q$  tem a mesma ordem de grandeza que  $R = \frac{Df}{\eta}$

$$de \text{ densidade} \text{ do fluido}$$
$$\text{de grandeza que } R = \frac{Df}{\eta} \quad \eta \rightarrow \text{viscosidade}$$

$f_q$  domina quando  $R$  é grande  
 $f_q$  " " " " " " quando  $R$  é pequeno

## 2.2 Força de arrasto linear (viscosa)



eq. de movimento:

$$m\ddot{\vec{r}} = m\vec{g} - b\vec{v}$$

(eq. dif. de 2<sup>a</sup> ordem  
em  $\vec{r}$ )

Característica importante: eq. de movimento não envolve  $\ddot{r}$ , apenas suas derivadas de ordem 1 e 2.

$$\ddot{m}\vec{v} = \vec{m}g - b\vec{v} \quad (\text{de } 1^{\text{a}} \text{ ordem em } \ddot{v})$$

e obtemos  $\ddot{v}$  integrando  $\ddot{v}$

O que mais simplifica a solução para o arrasto linear é que as eq. de movimento nas componentes são desacopladas: (o que não ocorre para o caso quadrático)

$$m\ddot{v}_x = -b v_x \quad \text{(quadrático)}$$

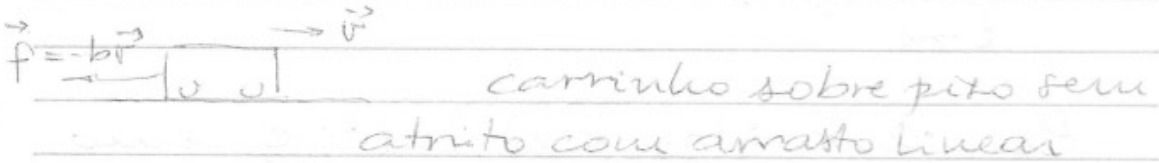
$$m\ddot{v}_y = m g - b v_y,$$

e podem ser

resolvidas separadamente

Além disso, cada componente define um problema de interesse por si mesmo.

Movimento horizontal com arrasto linear



Condições iniciais:  $x(t=0) = 0$ ,

$$v_x(t=0) = v_{x0}$$

Fazer análise qualitativa

Eq. movimento:

$$\ddot{v}_x = -k v_x, \quad k = \frac{b}{m}$$

Separação de variáveis:

$$\frac{dv_x}{dt} = -k v_x \Rightarrow \frac{dv_x}{v_x} = -k dt$$

$$\int_{v_{x0}}^{v_x} \frac{dv_x'}{v_x'} = \int_0^t -k dt'$$

$$[\ln v_x']_{v_{0x}}^{v_x(t)} = -kt$$

$$\ln v_x(t) - \ln v_{0x} = \ln \frac{v_x(t)}{v_{0x}} = -kt$$

$$\frac{v_x(t)}{v_{0x}} = e^{-kt} \Rightarrow v_x(t) = v_{0x} e^{-kt}$$

Mas a solução era óbvia (afinal, qual a função que é proporcional a sua derivada?)

$$\text{Escrevo } v_x(t) = v_{0x} e^{-t/\tau},$$

com  $\tau = \frac{1}{k} = \frac{m}{b}$  chamado de tempo característico:

o tempo necessário para a velocidade cair a  $\frac{1}{e}$  ( $e^{-1} = \frac{1}{2,7} \approx \frac{1}{3}$ ) de seu valor inicial

Análise qualitativa de  $\tau$

$$\lim_{t \rightarrow \infty} v_x(t) = 0$$

Para encontrar  $x(t)$ , integre como

$$v_x = \frac{dx}{dt} \Rightarrow \int_0^t v_x(t') dt' = \int_{x(0)}^{x(t)} dx' =$$

$$x(t) - x(0)$$

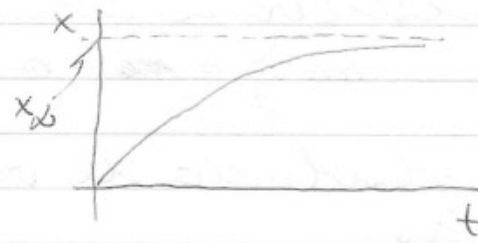
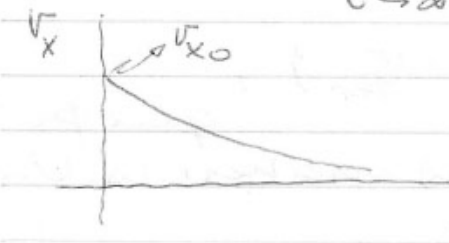
Logo,

$$\begin{aligned} x(t) &= x(0) + \int_0^t v_{0x} e^{-t'/\tau} dt' = \\ &= 0 + \left[ -v_{0x} \frac{2}{\tau} e^{-t'/\tau} \right]_0^t \\ x(t) &= \underbrace{x_0}_{x_\infty} \left( 1 - e^{-t/\tau} \right) = x_\infty \left( 1 - e^{-t/\tau} \right) \end{aligned}$$

equilíbrio

$x_\infty$

Veja que  $\lim_{t \rightarrow \infty} x(t) = x_\infty = \frac{v_0}{b}$



Movimento vertical com arrasto linear

Projétil lançado para baixo na vertical: escolho eixo y vertical para baixo  
 $m\ddot{y} = mg - b\dot{y}$

Análise qualitativa:

- com  $v_y > 0$  (para baixo), a força de arrasto é para cima;
- enquanto  $v_y$  for pequeno,  $mg > bv_y$  e o objeto acelera para baixo, até que  $mg = bv_y$ ;
- a velocidade em que isto ocorre é chamada a velocidade terminal:

$$v_{ter} = \frac{mg}{b} \quad (\text{diferente para objetos diferentes})$$

Para 2 objetos de mesma forma e tamanho (mesmo  $b$ ), o + pesado terá  $v_{ter}$  maior.

- como  $v_{ter} \propto \frac{1}{b}$ , é uma medida inversa da intensidade (importância) da resistência do ar: quanto maior for esta, menor será  $v_{ter}$ .

E se  $v_{0y}$  for para cima?

Solução da eq. de movimento:

Reescrevo-a como

$$m \ddot{v}_y = -b (v_y - v_{\text{ter}})$$

que pode ser resolvida de várias maneiras. Uma delas:

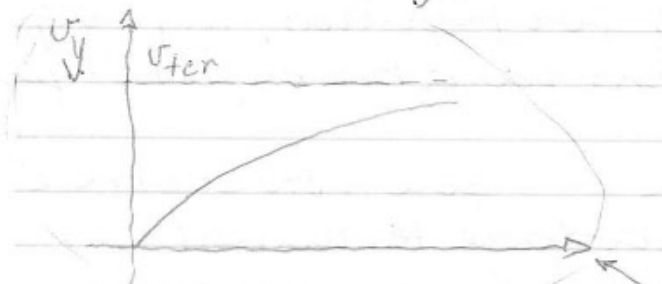
$$u(t) = \frac{v_y(t) - v_{\text{ter}}}{\parallel} \Rightarrow \ddot{u} = \ddot{v}_y$$

$$m \ddot{u} = -b u \quad (\text{igual à anterior!})$$

$$u(t) = \frac{u_0 e^{-t/\tau}}{\parallel}, \quad \tau = \frac{m}{b}$$

$$\Rightarrow v_y(t) = v_{\text{ter}} + (v_{y_0} - v_{\text{ter}}) e^{-t/\tau}$$

$$= v_{y_0} e^{-t/\tau} + v_{\text{ter}} (1 - e^{-t/\tau})$$



$$\lim_{t \rightarrow \infty} v_y(t) = v_{\text{ter}}$$

$$\text{Se } v_{y_0} = 0,$$

$$v_y(t) = v_{\text{ter}} (1 - e^{-t/\tau})$$

Significado de  $\tau$ : quando  $t = \tau$ ,

$$v_y(\tau) = v_{\text{ter}} (1 - e^{-1}) \approx \frac{2}{3} v_{\text{ter}}$$

Se  $t = 3\tau$ ,  $v_y(3\tau) \approx 0.95 v_{\text{ter}}$

16/03/09 -

Note também que  $v_{\text{ter}} = \frac{m}{b} g = g\tau$ :

$v_{\text{ter}}$  é a velocidade que um objeto em

queda livre (de resistência do ar)  
teria após um intervalo de tempo  $\bar{Z}$ .

Para encontrar  $y(t)$ , basta integrar  $v_y(t)$ ; já que  $v_y = \frac{dy}{dt}$  ( $\Rightarrow dy = v_y dt$ )

$$y(t) - y(0) = \int_0^t v_y(t') dt' =$$

$$\int_0^t [v_{ter} + (v_{y0} - v_{ter}) e^{-t'/\bar{Z}}] dt' \Rightarrow$$

$$y(t) = v_{ter} t + (v_{y0} - v_{ter}) \bar{Z} (1 - e^{-t/\bar{Z}})$$

### 2.3 Trajetória e alcance em meio linear

Podemos agora combinar  $x(t)$  e  $y(t)$  e eliminar  $t$ , para obter a eq. da trajetória. Por conveniência de interpretações, vou inverter o sentido positivo do eixo  $y$ , fazendo o apontar para cima - basta trocar o final de  $v_{ter}$  na expressão de  $y(t)$ :

$$x(t) = v_{x0} \bar{Z} (1 - e^{-t/\bar{Z}})$$

$$y(t) = (v_{y0} + v_{ter}) \bar{Z} (1 - e^{-t/\bar{Z}}) - v_{ter} t$$

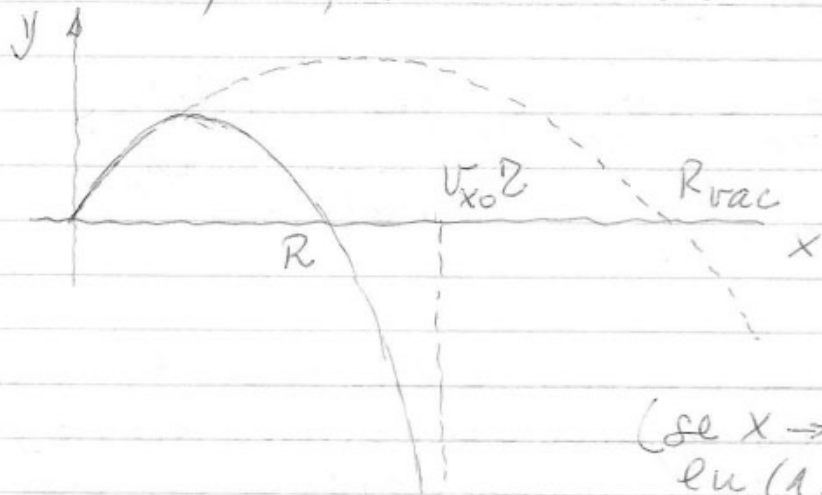
uso a 1ª eq. para obter  $t$  em função de  $x$  e levo o resultado na 2ª:

$$1 - e^{-t/\bar{Z}} = \frac{x}{v_{x0} \bar{Z}}$$

$$e^{-t/\bar{Z}} = 1 - \frac{x}{v_{x0} \bar{Z}} \Rightarrow t = -\bar{Z} \ln \left(1 - \frac{x}{v_{x0} \bar{Z}}\right)$$

$$\Rightarrow y(t) = \frac{v_{y0} + v_{ter}}{v_{x0}} x + v_{ter} \delta \ln \left( 1 - \frac{x}{v_{x0} \delta} \right)$$

Não é muito fácil enxergar o que esta eq. está dizendo. Veja seu gráfico, comparado com a trajetória na ausência de forças de arrasto.



$$(se x \rightarrow R_vac, \\ \ln \left( 1 - \frac{x}{v_{x0} \delta} \right) \rightarrow -\infty)$$

A trajetória tem assíntota vertical em  $x = v_{x0} \delta$ . No limite em que a força de arrasto se anula ( $v_{ter} \rightarrow 0$ ,  $\delta \rightarrow 0$ ), a trajetória coincide com a da queda livre (faça!) (verifique!!)

Alcance horizontal

$$\text{No vácuo, } R_{vac} = \frac{2 v_{x0} v_{y0}}{g}$$

Agora, é  $R$  tq  $y(R) = 0$ :

$$\frac{v_{y0} + v_{ter}}{v_{x0}} R + v_{ter} \delta \ln \left( 1 - \frac{R}{v_{x0} \delta} \right) = 0$$

(eq. transcendente sem solução analítica)

Vamos obter solução aproximada, para o caso em que  $\tilde{v}$  é pequeno ( $v_{ter}$  e 2 são grandes, e o argumento do logaritmo é pequeno)

Relembre:

$$\ln(1+x) = x - \frac{x^2}{2} + \frac{x^3}{3} \dots \text{ (se } x \text{ é pequeno)}$$

Ficamos com:

$$\left[ \frac{v_{yo} + v_{ter}}{v_{x_0} 2} \right] R - v_{ter} 2 \left[ \frac{R}{v_{x_0} 2} + \frac{1}{2} \left( \frac{R}{v_{x_0} 2} \right)^2 + \frac{1}{3} \left( \frac{R}{v_{x_0} 2} \right)^3 \right] = 0$$

$$\frac{v_{yo}}{v_{x_0}} R - v_{ter} 2 \left( \frac{R}{v_{x_0} 2} \right)^2 \left[ \frac{1}{2} + \frac{1}{3} \frac{R}{v_{x_0} 2} \right] = 0$$

$R = 0$  é solução trivial; dividindo por  $R$ :

$$\frac{v_{yo}}{v_{x_0}} - \frac{v_{ter}}{2} \frac{R}{v_{x_0}^2} \left[ \frac{1}{2} + \frac{1}{3} \frac{R}{v_{x_0} 2} \right] = 0$$

↓      ( $v_{ter}/2 = g$ )

$$R = \frac{2 v_{x_0} v_{yo}}{g} - \frac{2}{3 v_{x_0} 2} R^2$$

(Lembre:  $v_{x_0} 2 > R$ )

1ª aprox. (ordem zero!):  $R \approx \frac{2 v_{x_0} v_{yo}}{g} = R_{vac}$

2ª (ordem 1): substituo  $R$  no lado direito por  $R_{vac}$  ⇒

$$R \approx R_{vac} - \frac{2}{3 v_{x_0} 2} R_{vac}^2$$

$$R \approx R_{vac} - \frac{2}{3 v_{x_0} 2} \cdot \frac{2 v_{x_0} v_{yo}}{g} R_{vac} = R_{vac} \left( 1 - \frac{4}{3} \frac{v_{yo}}{v_{ter}} \right)$$

(2g =  $v_{ter}$ )

1.  $R < R_{vac}$  (como era de se esperar)

2. Correção depende apenas de  $\frac{v_y}{v_{ter}}$

(se  $\frac{v}{v_{ter}} \ll 1$  ao longo do percurso,  
o arrasto é muito pequeno  
e pode ser ignorado.)

## 24 Resistência do ar quadrática

É a melhor aproximação na  
maioria dos casos concretos

$$\vec{f} = -c v^2 \vec{v} = -c v \vec{v} = -c \sqrt{v_x^2 + v_y^2} \vec{v}$$

Em coordenadas cartesianas,

$$m \ddot{v}_x = -c \sqrt{v_x^2 + v_y^2} v_x$$

$$m \ddot{v}_y = mg - c \sqrt{v_x^2 + v_y^2} v_y$$

$\Rightarrow$  eqs. acopladas! E não-lineares!!

O problema é agora bem + complicado. No caso geral estas eq. não podem ser resolvidas em termos de funções elementares. Em termos ainda + gerais, eq. diferenciais não-lineares podem conduzir ao fenômeno do caos (mas não neste caso).

Vamos, outra vez, resolver o problema por partes:

- caminho em movimento horizontal;
- queda na vertical

Estes são, felizmente, solúveis.

- Movimento horizontal com arrasto quadrático

Eq. movimento:

$$m \ddot{v} = m \frac{dv}{dt} = -cv^2$$

Separando variáveis e integrando:

$$m \int_{v_0}^v \frac{dv'}{v'^2} = -c \int_0^t dt'$$

$$m \left( \frac{1}{v_0} - \frac{1}{v} \right) = -ct,$$

$$v(t) = \frac{v_0}{1 + cv_0 t/m} = \frac{v_0}{1 + t/\tau}, \quad \tau = \frac{m}{cv_0}$$

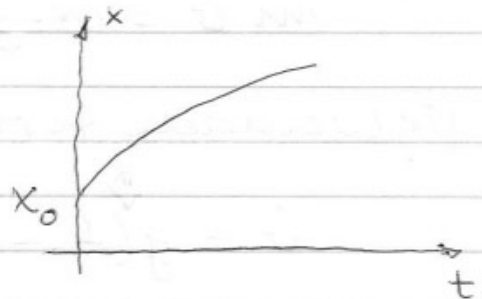
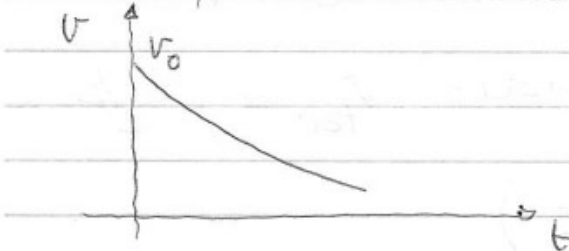
Significado de  $\tau$ :

$$\text{se } t = \tau, \quad v = \frac{v_0}{2}$$

A posição  $x(t)$ :  $\frac{dx}{dt} = \dot{x} = v$

$$\Rightarrow x(t) = x_0 + \int_0^t \frac{v_0}{1 + t'/\tau} dt' = \\ = x_0 + v_0 \tau \ln(1 + t/\tau)$$

Graficos:



Na apariência superficial faz muito semelhantes aos do arrasto linear:

- $\lim_{t \rightarrow \infty} v(t) = 0$ ; mas neste caso, o tempo

decaimento é muito + lento (polinomial, enquanto é exponencial para o arrasto linear)

- esta diferença se torna + dramática no comportamento de  $x(t)$ : no caso linear,  $\lim_{t \rightarrow \infty} x(t)$  é finito ( $= v_0 t = x_\infty$ , se  $x_0=0$ ) enquanto no quadrático este limite diverge ('é infinito!')

Este resultado mostra que extrapolar a validade da dependência quadrática para  $v$  muito pequeno não é realista - apesar do arrasto linear e do atrito cinético serem pequenos no inicio, quando  $v \rightarrow 0$  ( $\text{e } v^2 \rightarrow 0$  ainda + rápido) não podem + ser ignorados, e um dos 2 vai garantir que o movimentoesse antes do  $\infty$ ...

- 18/03/09 -

- Movimento vertical com arrasto quadrático

Eq. movimento:

$$m\ddot{v} = mg - cv^2 \quad (\downarrow y)$$

Velocidade terminal:  $v_{\text{ter}} = \sqrt{\frac{mg}{c}}$

$$\ddot{v} = g \left( 1 - \frac{v^2}{v_{\text{ter}}^2} \right)$$

Separação de variáveis e integração:

$$\int_0^v \frac{dv'}{1 - \frac{v'^2}{v_{\text{ter}}^2}} = \int_0^t g dt' \Rightarrow$$

$$\frac{v_{ter}}{g} \arctgh\left(\frac{v}{v_{ter}}\right) = t$$

(lembre:  $\tgh x = \frac{e^x - e^{-x}}{e^x + e^{-x}}$ )

$$\Rightarrow v = v_{ter} \tgh\left(\frac{gt}{v_{ter}}\right), \text{ ou, com } \mathcal{Z} = \frac{v_{ter}}{g},$$

$$v = v_{ter} \tgh\left(\frac{t}{\mathcal{Z}}\right) = g \mathcal{Z} \tgh\left(\frac{t}{\mathcal{Z}}\right)$$

Se  $\mathcal{Z}$  é grande (i.e.,  $\frac{t}{\mathcal{Z}} \ll 1$  ao longo do movimento e o arrasto é pequeno —  $c$  é pequeno):

$$\tgh(x) = \frac{e^x - e^{-x}}{e^x + e^{-x}} \approx \frac{1+x - (1-x)}{1+x+1-x} = x$$

$$\text{e } v \approx g \mathcal{Z} \cdot \frac{t}{\mathcal{Z}} = gt$$

Para obter  $y(t)$ , integro:

$$\int_{y_0}^y dy' = \int_0^t g \mathcal{Z} \tgh\left(\frac{t'}{\mathcal{Z}}\right) dt'$$

$$y = y_0 + g \mathcal{Z}^2 \ln [\cosh\left(\frac{t}{\mathcal{Z}}\right)]$$

### Movimento combinado

Eqs. movimento:

$$m \ddot{\vec{r}} = m \vec{g} - c v^2 \hat{\vec{v}}$$

$$= m \vec{g} - c v \vec{v}, \text{ com}$$

componentes

$$m \ddot{v}_x = -c \sqrt{v_x^2 + v_y^2} \frac{v_x}{v}$$

$$m \ddot{v}_y = -mg - c \sqrt{v_x^2 + v_y^2} \frac{v_y}{v} \quad (\dagger y)$$

Estas eqs. não são as mesmas que aca  
tilibra

bamos de resolver, e não podemos simplesmente juntar as (2) soluções obtidas, como fizemos no caso linear. Ainda pior, estas 2 não têm soluções analíticas! Só podemos resolvê-las numericamente - o que significa que temos que, a priori, especificar as condições iniciais e não podemos encontrar uma solução geral.

Apesar disso, podemos usar as eqs. para provar várias propriedades gerais da trajetória:

- a altura máxima é menor, e é alcançada num tempo + curto que no vácuo:

(W<sub>y0</sub>) enquanto o projétil se move para cima,

(F<sub>y0</sub>) a resistência do ar tem componente vertical para baixo  $\Rightarrow$  logo, a aceleração para baixo é maior que  $g$ . (ver aula de exercícios)

- quando  $t \rightarrow \infty$ , trajetória tem astin-

tota vertical (como no caso linear):

em seu movimento para baixo, o pro-

jeito está sempre se movendo cada vez mais rápido, e  $\lim_{t \rightarrow \infty} v_y(t) = -v_{y\text{ter}}$

Ao mesmo tempo,  $v_x$  é decres-

cente e se aproxima de zero.  $\Rightarrow$

$$\sqrt{v_x^2 + v_y^2} \rightarrow v_{\text{ter}}$$

Em particular, se  $t$  é grande, a eq para  $v_x$  pode ser aproximada por (k>0)

$$v_x = -\frac{C v_{\text{ter}}}{m} v_x = -k v_x, \text{ cuja}$$

solução é uma exponencial

decrecente,  $v_x = A e^{-kt}$ , portanto,

$$x(t) = \int_0^t v_x(t') dt' = \underbrace{\int_0^T v_x(t') dt'}_{X \text{ finito}} + \int_T^t v_x(t') dt'$$

$$= X + \int_T^t A e^{-kt'} dt' = X + \frac{A}{k} [e^{-kT} - e^{-kt}]$$

e  $\lim_{t \rightarrow \infty} x(t)$  é finito.

## 2.5 Movimento de partícula carregada em campo magnético uniforme

Tema de interesse em si mesmo (ciclótrons, LHC) e que permite a apresentação de técnicas matemáticas muito úteis.

Consideremos carga  $q (> 0)$  que se move sob ações de  $\vec{B} = B \hat{z}$ , suposto grande o suficiente para permitir que desprezemos o peso. A resultante é  $\vec{F} = q \vec{v} \times \vec{B}$  (Lorentz), e a eq. de movimento

$$m \ddot{\vec{v}} = q \vec{v} \times \vec{B} \quad (\text{análise qualitativa})$$

Decompondo em componentes:

$$\vec{v} \times \vec{B} = (v_y B, -v_x B, 0), \text{ e}$$

$$\begin{cases} m \ddot{v}_x = q B v_y \\ m \ddot{v}_y = -q B v_x \\ m \ddot{v}_z = 0 \end{cases} \quad (\text{eqs. acopladas})$$

$v_z$  é constante  
(Afinal, a força magnética é sempre perpendicular a  $\vec{B}$ , que tem a direção  $\hat{z}$ )

no plano xy

Consideremos o vetor 2-dimensional

$(v_x, v_y)$ : é a velocidade transversa.

Notações para simplificar as eqs.:

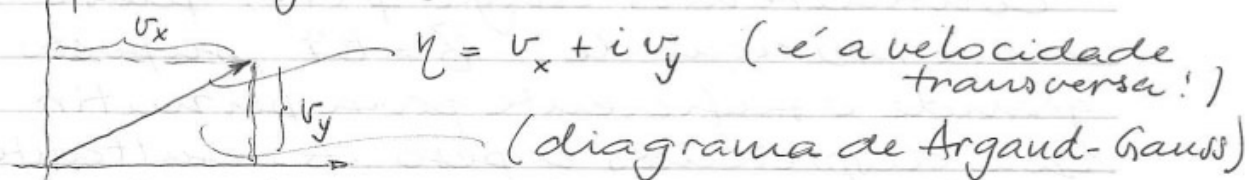
$$\omega = \frac{qB}{m} \quad (\text{frequência do ciclotrôn})$$

$$\Rightarrow \begin{cases} \dot{v}_x = \omega v_y \\ \dot{v}_y = -\omega v_x \end{cases}, \text{eqs. acopladas, mas que podem ser resolvidas de muitas maneiras (imagine uma!)} \quad , \text{eqs. acopladas, mas que podem ser resolvidas de muitas maneiras (imagine uma!)}$$

Vou apresentar uma que usa os números complexos - técnica com muitas aplicações em várias áreas da Física

Defino complexo  $\eta = v_x + i v_y \quad (i = \sqrt{-1})$

parte imaginária



(diagrama de Argand-Gauss)

parte real

A vantagem de usar os números complexos é a seguinte:

$$\dot{\eta} = \dot{v}_x + i \dot{v}_y = \omega v_y - i \omega v_x = -i \omega (v_x + i v_y)$$

$$\Rightarrow \dot{\eta} = -i \omega \eta \Rightarrow \eta(t) = A e^{-i \omega t}$$

## 2.6 Exponenciais complexas

Vamos (re)ver algumas propriedades.

$$\text{Se } x \in \mathbb{R} \Rightarrow e^x = 1 + x + \frac{x^2}{2!} + \dots + \frac{x^n}{n!} + \dots$$

~~tilibra~~ (ver: Berkeley, cap4, Nota Matemática Feynman, sec. 22.5 e 22.6)

Se  $z \in \mathbb{C}$ , definimos

$$e^z = 1 + z + \frac{z^2}{2!} + \frac{z^3}{3!} + \dots + \frac{z^n}{n!} + \dots, \quad e,$$

com isto, a exponencial complexa tem propriedades equivalentes à real.:

- se  $z, w \in \mathbb{C}$ ,  $e^z e^w = e^{(z+w)}$

- $\frac{d}{dz} (A e^{kz}) = k (A e^{kz})$

- se  $z = i\theta$  ( $\theta \in \mathbb{R}$ ) (imaginário puro)

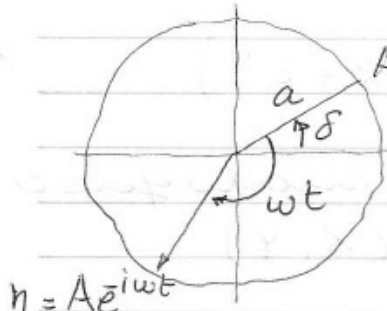
$$e^{i\theta} = 1 + i\theta + \frac{(i\theta)^2}{2!} + \frac{(i\theta)^3}{3!} + \frac{(i\theta)^4}{4!} + \dots$$

$$= \left[ 1 - \frac{\theta^2}{2!} + \frac{\theta^4}{4!} + \dots \right] + i \left[ \theta - \frac{\theta^3}{3!} + \dots \right]$$

$$e^{i\theta} = \cos \theta + i \sin \theta \quad (\text{Euler - de Moivre})$$

figura: círculo unitário

Se  $\eta = A e^{-i\omega t}$ ,  $A$  fixo: pode ser escrito na forma  $A = a e^{i\delta}$ ,  $a = |A|$  é o módulo e  $\delta$  o ângulo polar de  $A$ :



$$A = a e^{i\delta} \quad \eta = A e^{-i\omega t} = a e^{i(\delta - \omega t)}$$

Quando  $t$  cresce,  $\eta$  se move (no plano de Argand) no sentido anti-trigonométrico sobre o círculo de raio  $a$  com velocidade angular  $\omega$ .

## 2.7 Soluções para carga em campo $\vec{B}$

Obtiveremos:  $v_z = \text{constante}$  e

$$\eta (= v_x + i v_y) = A e^{-i\omega t} : \text{a velocidade}$$

transversa nuda de direções, girando no sentido anti-trigonométrico com velocidade angular constante  $\omega = \frac{qB}{m}$  e módulo constante ( $= a = |A|$ ).

Isto sugere que a partícula executa movimento helicoidal. Vamos verificar:

$$v_z = v_{z_0} \Rightarrow z(t) = z_0 + v_{z_0} t$$

Vamos introduzir  $\vec{g}(ec) = x + iy \Rightarrow$  representa a posição transversa  $(x, y)$ .

Como  $\vec{g} = \vec{h}$ ,

$$\cancel{\vec{g}(t) - \vec{g}(0) = \int_0^t \vec{y}(t') dt'}$$

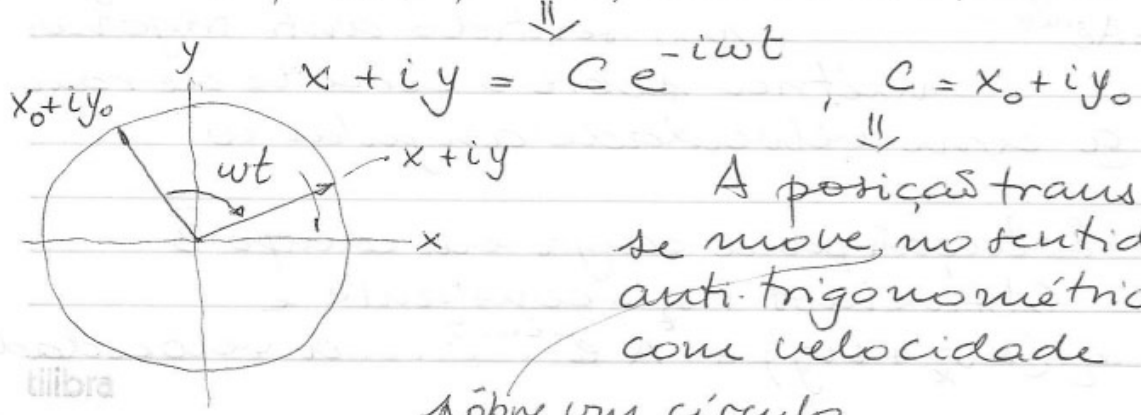
$$\cancel{\vec{g}(t) = \vec{g}(0) + \left[ A e^{-i\omega t} \right]_0^t}$$

$$\vec{g} = \int \vec{y} dt = \int A e^{-i\omega t} dt = \frac{iA}{\omega} e^{-i\omega t} + \text{const.}$$

$$\text{Defino: } \frac{iA}{\omega} = C, \text{ const.} = x + iY$$

$$x + iy = C e^{-i\omega t} + (x + iY)$$

Redefino a origem de modo que o eixo  $\vec{z}$  passe pelo ponto  $(X, Y)$



A posição transversa se move, no sentido anti-trigonométrico com velocidade sobre um círculo

MG 2.21

angular constante  $\omega = \frac{qB}{m} \Rightarrow$  partícula descreve uma hélice (uniforme) cujo eixo é paralelo a  $\vec{B}$ .

Exemplos: partículas de raios cósmicos são "capturadas" pelo campo magnético terrestre

Se  $v_z = 0 \Rightarrow$  trajetória é um círculo (círculo giroscópico, onde as partículas são aceleradas por campo elétrico pulsante.)

O raio da órbita é

$$r = \frac{v}{\omega} = \frac{mv}{qB} = \frac{\Phi}{qB}, \text{ e aumenta}$$

à medida que a partícula acelera, até emergir na periferia externa do anel (imãs circulares que criam  $\vec{B}$ ).